

С. Д. Творогов, В.О. Троицкий

ОБ УСЛОВИЯХ ПРИМЕНИМОСТИ ПАРАБОЛИЧЕСКОГО ПРИБЛИЖЕНИЯ

Рассмотрен вопрос применимости метода параболического приближения (ПП) к решению задач о поле вблизи геометрического фокуса, представлен вариант количественного критерия. Показано, что ошибка между точным решением и ПП: а) в общем случае есть всегда, и это связано с преждевременным ограничением рядов для фазы функции Грина и граничного поля; б) является несущественной, если и граничное поле и функция Грина имеют сферический волновой фронт; в) может достигать значительной величины, если тот и (или) другой волновой фронт оказывается несферическим; г) тем больше, чем сильнее за счет фокусировки пучка отличаются характерные граничные и фокальные размеры.

§1. Предисловие

Параболическое приближение (ПП), связанное с заменой типичных в задачах о распространении волн уравнений гиперболического типа параболическими, получило широкую популярность в атмосферной оптике [1, 2]. Этот же прием хорошо известен в теории дифракции [3], нелинейной оптике [4, 5], электродинамике турбулентных сред [6, 7], при анализе гауссовских пучков и в квазиоптике [8]. Идея приближения восходит к давней работе [9], и математические ее аспекты прекрасно обсуждены в [3]. Очень близкая тема — предмет детального анализа [10], и некоторые ее результаты продемонстрированы в §2. Введение самого ПП возможно различными приемами — сравнение с тестовыми решениями [3], преобразование функции Грина [6], выделение осциллирующего множителя [4] и пр.

При столь обширной библиографии не может, казалось бы, возникать никаких проблем с условиями применимости ПП. Однако, как выясняется, ситуация с окрестностью точек схождения лучей геометрической оптики (каустики, фокус) требует уточнения, и довольно существенного.

§2. Краткий обзор задачи

Исходным будет волновое (для монохроматического случая) уравнение гиперболического типа

$$\Delta\Psi(\mathbf{r}) + \kappa^2 m^2 \Psi(\mathbf{r}) = 0, \quad (1)$$

в котором $\kappa = 2\pi/\lambda$, $m(\mathbf{r})$ — показатель преломления в точке \mathbf{r} , и скалярный вариант принят только ради простоты. Переход от (1) к приближенному уравнению параболического типа происходит по почти стандартному сценарию. Положим

$$\Psi(\mathbf{r}) = U(\mathbf{r}) \exp[i\kappa S(\mathbf{r})] \quad (2)$$

и после подстановки (2) в (1) появится

$$\Delta U + 2i\kappa \text{grad} U \text{grad} S + i\kappa U \Delta S + \kappa^2 m^2 U - \kappa^2 U (\text{grad} S)^2 = 0. \quad (3)$$

Конечно же, нет никаких формальных запретов писать (2), но необходимо «что-то сказать» об, например, S — ведь иначе в (3) окажется две неизвестных функции. И говорят [11], что $\exp(i\kappa S)$ «берет на себя наиболее осциллирующую часть Ψ », т.е. U — более медленная (по сравнению с $\exp(i\kappa S)$) функция. Разумными поэтому выглядят определяющие S соотношения

$$(\text{grad} S)^2 = m^2, \quad \mathbf{n} = \frac{1}{m} \text{grad} S, \quad \mathbf{n} \text{ — орт} \quad (4)$$

и предположения об исполнении условий

$$|\Delta S| \ll \frac{1}{L} |\text{grad} S|, \quad \left| \frac{\partial^2 U}{\partial l^2} \right| \ll \kappa \left| \frac{\partial U}{\partial l} \right|. \quad (5)$$

В (5) $\partial/\partial l$ — производная в направлении \mathbf{n} и L — расстояние, на котором заметно меняется U (т.е. $|\text{grad}U| = 0(U/L)$).

Действительно, (4) устраняет из (3), слагаемое $\sim \kappa^2$ — наиболее явный источник осцилляций. Физический смысл (4) хорошо известен: появился эйконал S , и волна идет по \mathbf{n} перпендикулярно поверхности $S = \text{const}$. Предполагается, разумеется, что (4) имеет единственное решение.

Теперь (3), (4) и (5) ведут к уравнению

$$\Delta_{\perp} U + 2ikm \frac{\partial U}{\partial l} = 0 \quad (6)$$

параболического типа; Δ_{\perp} — оператор Лапласа по «поперечным» относительно \mathbf{n} координатам.

Математическую аранжировку подобных рассуждений можно связать с эквивалентным (1) интегральным уравнением (см., например, [11, 12]). Оно после подстановки (2) сводит исследование Ψ к интегралу

$$\int d\rho d\mathbf{q} \Gamma(\kappa, \mathbf{q}) [m^2(\mathbf{r} - \boldsymbol{\rho}) - 1] U(\mathbf{r} - \boldsymbol{\rho}) e^{ikS(\mathbf{r} - \boldsymbol{\rho})} e^{i\mathbf{q}\boldsymbol{\rho}}. \quad (7)$$

Здесь Γ — преобразование Фурье функции Грина оператора Гельмгольца ((1) при $m = 1$ и $q = 0$ (κ)); V — область, где $m \neq 1$, и, конечно же, $\kappa^3 \sqrt{V} \gg 1$ — необходимое условие приближения. Последнее гарантирует эффективность асимптотической оценки (7).

Допустим сначала, что (4) имеет одно решение (это оправдывает (2) и (7) и исполнение (5)). Во время асимптотической оценки (7) первое (5) позволит представить $S(\mathbf{r} - \boldsymbol{\rho})$ линейной функцией $\boldsymbol{\rho}$ а (4) доказать, что первая производная функции из показателя экспоненты не имеет нулей внутри V . Второе (5) утверждает, что у U нет точек ветвления (типа «полюс» или «нуль»). Поэтому (7) оценивается как интеграл Фурье и

$$U = \sum_{n=0}^{\infty} \xi^n U_n(\mathbf{r}), \quad \xi = 1/i\kappa \quad (8)$$

оказывается регулярной по ξ функцией.

Однако если предположить (8) или, более общо, регулярность Ψ по ξ , то стандартные теоремы из теории аналитических функций [13] убедят в единственности, однозначности и конечности S и U . Регулярность Ψ — это и возможность приравнять коэффициенты при одинаковых степенях ξ ; отсюда следует и (4), и рекуррентная цепочка

$$2\text{grad} U_n \text{grad} S + U_n \Delta S + \Delta U_{n-1} = 0, \quad U_{-1} = 0, \quad (9)$$

начальному шагу которой ($n = 0$) соответствует геометрическая оптика.

Итак, необходимым и достаточным условием существования (2) и (3) оказывается регулярность Ψ . Конечно, это отнюдь не гарантирует (6), но (2) и (3) — основа ведущего к (6) асимптотического анализа с его формальным признаком $\kappa \rightarrow \infty$. Прагматическая значимость подобной акции понятна — ведь вряд ли можно надеяться уйти в (9) далеко от начального $n = 0$, а то, что (6) значительно точнее геометрической оптики, — известно хорошо.

Другую сторону (в духе терминов «необходимость и достаточность») только что обсуждавшегося сюжета подчеркивает понимание того, что регулярность Ψ исчезнет, когда условия (5) не будут удовлетворены. Действительно, теперь при оценке (7) в показателе (\exp) придется писать квадратичную (как минимум) по $\boldsymbol{\rho}$ функцию и ориентироваться на метод перевала, что радикально изменит (8). Во-первых, появятся дробные степени ξ , и то же самое произойдет при неисполнении второго (5). Во-вторых, две эквивалентные по значимости точки перевала гласят о неоднозначности эйконала, и необходимо писать

$$\Psi = U_1 e^{ikS_1} + U_2 e^{ikS_2} \quad (10)$$

вместо (2). Понятно, что теперь подстановка (10) в (1) никак не может привести к уравнению (6).

Это утверждение можно истолковать на языке дифференциальной геометрии [10]. Как выясняется, существуют криволинейные координаты: сам эйконал S и полярные составляющие (β и γ) орта \mathbf{n} . Соответствующие оси расположены в плоскости, касательной к поверхности $S = \text{const}$. Совершенно очевидным условием однозначности S из (4) будет $J \equiv D(\mathbf{r})/D(S, \beta, \gamma) \neq 0$ для Якобиана перехода от Декартовых координат к криволинейным. Это же условие обеспечивает однозначность и конечность U_n — как следует из (9), $U_n \sim J^{-1/2-\sigma_n}$ (при $\sigma_n > 0$). В окрестности $J = 0$ естественно нарушается однозначность S , и приходится обращаться к варианту (10).

Становится ясной математическая эквивалентность условия $J \neq 0$ и «регулярность Ψ по ξ ». Конструктивный элемент состоит в том, что $J \neq 0$ там, где не может быть велика $\text{div}(m\mathbf{n})$, — т.е. в точках, далеких от каустик и фокусов. Связь последних, физическая и математическая, с величиной $\text{div}(m\mathbf{n})$ очевидна [10, 11, 14].

Итак, предыдущий анализ свидетельствует, что (6) нельзя трактовать как приближение для (1) в точках схождения лучей геометрической оптики. Собственно, обстоятельство это неоднократно и настойчиво подчеркивается в [3]. Но непременно надо добавить, что (6), написанное «само по себе», имеет некие решения в точках схождения лучей (они не являются для (6) особыми; это же утверждает анализ по правилам дифференциальной геометрии), и, более того, структура решения подчеркивает его явно «дифракционное» происхождение («диффузия» в область геометрической тени, «перетяжка» около фокуса и т.п.). Наверное, это и создает некую иллюзию универсальности параболического приближения.

Однако не исключена возможность такого специального применения граничных условий, разложения функции Грина и т. п., которые приведут к верным числовым результатам. Прием этот прекрасно продемонстрирован в [3], где уравнения параболического типа использованы при исследовании дифракции на абсолютно отражающих объектах.

Эти достаточно общие (и, в известном смысле, предварительные) соображения конкретизируют и иллюстрируют задачи из §3 и 4. Итоги подведены в §5.

§ 3. Сферическая фокусировка в однородную среду

Пусть $z = 0$ — граница раздела двух сред. При $z < 0$: $m_1 = 1$, при $z > 0$: $m_2 \equiv m > 1$. По теореме Кирхгофа — Гельмгольца для всех $z_0 \gg 1/\kappa$ [4]

$$\Psi(\mathbf{r}_0) = -\frac{ikz_0 m}{2\pi} \int_{-\infty}^{+\infty} \int A(x, y) \frac{\exp(ikS)}{R^2} dx dy. \quad (11)$$

Изменением амплитуды A при прохождении границы раздела пренебрегаем и считаем поле при $z = 0$ (в первой среде) сходящейся сферической волной

$$\Psi|_{z=0} = A(x, y) \exp(-ikR_f). \quad (12)$$

В (11), (12) $\mathbf{r}_0(x_0, y_0, z_0)$ — точка наблюдения; $S = mR - R_f$, $R = \sqrt{z_0^2 + r^2}$, $R_f = \sqrt{f^2 + \rho^2}$, $r^2 = (x - x_0)^2 + (y - y_0)^2$, $\rho^2 = x^2 + y^2$, f имеет смысл фокусного расстояния.

Стандартное условие

$$r/z_0 \sim \rho/f \ll 1 \quad (13)$$

позволяет написать

$$R \simeq z_0 + \frac{r^2}{2z_0} - \frac{r^4}{8z_0^3} + \dots, \quad R_f \simeq f^2 + \frac{\rho^2}{2f} - \frac{\rho^4}{8f^3} + \dots \quad (14)$$

и ПП соответствуют первые два слагаемых в (14).

Ограничиваясь рассмотрением поля на оптической оси ($x_0 = y_0 = 0$ и $\rho = r$), переходя к полярным координатам ρ и θ , выделяя в S большую величину — $(mz_0 - f)$ и считая, что с высокой точностью выполняется ($1/R^2 \simeq 1/z_0^2$), из (11) получаем вариант, который будем считать точным решением задачи

$$\Psi(z_0) = -\frac{ikm}{2\pi z_0} \exp[i\kappa(mz_0 - f)] \int_0^{2\pi} \int_0^{\infty} A(\theta, \rho) \exp(ikS) \rho d\rho d\theta, \quad (15)$$

где $S \equiv S_t = m\sqrt{z_0^2 + \rho^2} - \sqrt{f^2 + \rho^2} - (mz_0 - f)$.

Приближенные решения отличаются от (15) только видом S . ПП соответствует

$$S \equiv S_p = S_1 \rho^2, \quad S_1 = \frac{1}{2} \left(\frac{1}{f} - \frac{m}{z_0} \right). \quad (16)$$

Для следующего приближения из (34)

$$S \equiv S_m = S_1 \rho^2 + S_2 \rho^4, S_2 = \frac{1}{8} \left(\frac{1}{f^3} - \frac{m}{z_0} \right). \quad (17)$$

В общем случае решения (15)–(17) можно исследовать только численными методами, а поскольку $\exp(iks)$ достаточно быстро осциллирует, то и сами методы и программы для их реализации нуждаются в проверке.

Для достаточно общего случая $A(\theta, \rho) \sim \exp(-\rho^4/a^4)$ амплитуда поля (15) при S из (17) имеет аналитическое представление (в целях экономии места фазы решений рассматривать не будем)

$$|\Psi(z_0)| \equiv A_0 = \frac{\kappa m}{4z_0} \sqrt{\frac{\pi a^4}{\sqrt{1 + (\kappa S_2 a^4)^2}}} |\omega(z)|, \quad (18)$$

где

$$\omega(z) = e^{-z^2} \left[1 + \frac{2i}{\sqrt{\pi}} \int_0^z e^{t^2} dt \right] = e^{-z^2} \operatorname{erfc}(-iz)$$

— хорошо известная функция [15] комплексного аргумента

$$z = -\kappa S_1 a^2 / 2 \sqrt{1 - i \kappa S_2 a^4}.$$

В ПП (т.е. для S из (16)) решение получается из (18) при $S_2 = 0$.

На рис. 1 представлены зависимости $|\Psi(z_0)|$ от значений z_0 вблизи $z_0 = mf$, рассчитанные на ЭВМ непосредственным интегрированием (15) для трех видов S ((15)–(17)). Для (16) и (17) точками на графиках показаны значения, полученные из (18) с помощью таблиц. Ошибки, возникающие при расчетах тем и другим способом, не превышают 1%. Между случаями $S = S_t$ и $S = S_m$ различия фактически нет (графики полностью сливаются), но ПП ($S = S_p$) заметно от них отличается.

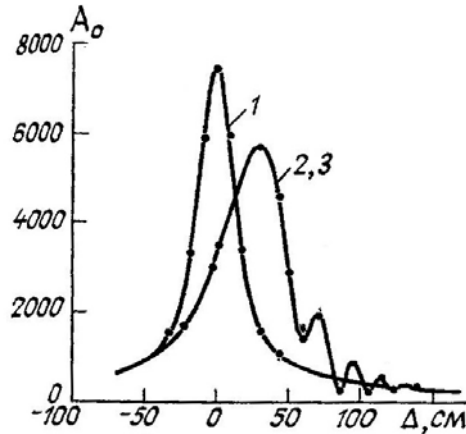


Рис. 1. Зависимость амплитуды A_0 на оптической оси пучка от значения Δ (см) $= (z_0 - mf) \cdot 1000$. Кривая 1 — $S = S_p$ (формула (16)), 2 — $S = S_m$ (17); 3 — $S = S_t$ (15). Амплитуда граничного поля $\sim \exp(-\rho^4/a^4)$, $a = 2$ см, $f = 30$ см, $m = 1,5$. Точки показаны значения, полученные из (18)

Результаты численных экспериментов на ЭВМ представлены на двух следующих рисунках. На рис. 2 сравнивается точное решение и ПП при вариациях геометрической расходимости $\alpha = a/f$ граничного поля. Примеры таких же расчетов, когда $\alpha = \text{const}$, представлены на рис. 3. Вычисления проводились для гауссовской амплитуды $A \sim \exp(-\rho^2/a^2)$ с соответствующей коррекцией амплитуды (связанной с изменением размеров пучка) в фокусе.

Рис. 1–3 свидетельствуют о ситуациях, в которых параболическое приближение неприменимо, и речь идет, разумеется, об описании поля вблизи фокуса. Очевидным критерием «качества ПП» следует считать

$$\kappa = \kappa \rho_{\max}^4 |S_2| \ll \kappa \rho_{\max}^2 |S_1|.$$

Для малой окрестности геометрического фокуса

$$\kappa \rightarrow \kappa_f \sim \kappa a^3 (1 - 1/m^2) \ll 1. \quad (19)$$

Принципиальным оказывается $m \neq 1$, что прекрасно согласуется с обсуждением задачи в §2.

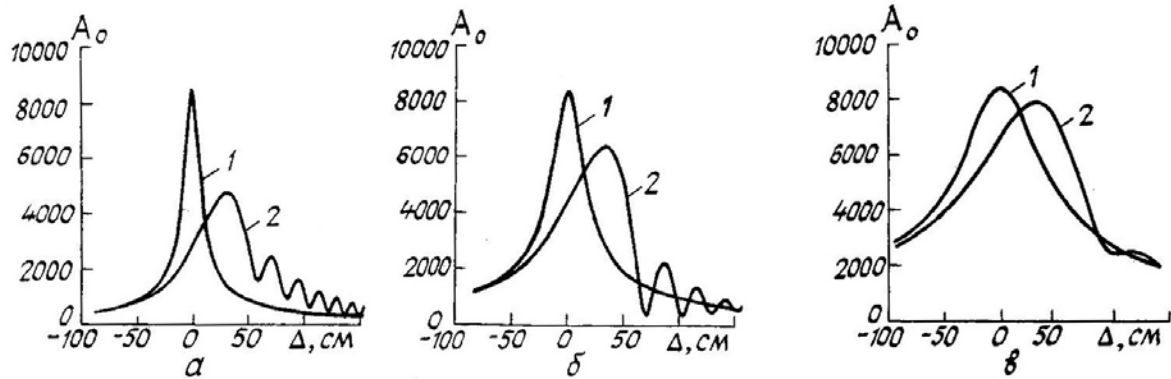


Рис. 2. Зависимость амплитуды A_0 от значения Δ (Кривые 1 – ПП, 2 – точное решение) при различных значениях геометрической расходимости $\alpha = a/f$: $\alpha = 2 \text{ см}/30 \text{ см}$ – (а), $2/45$ – (б), $2/70$ – (e). Граничный пучок – гауссовский, $m = 1,5$

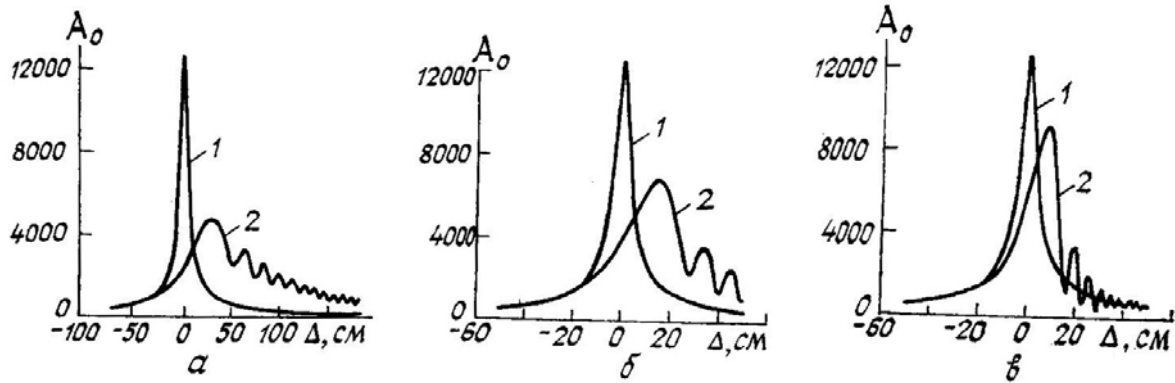


Рис. 3. Зависимость амплитуды A_0 от значения Δ (1 – ПП, 2 – точное решение) при фиксированной геометрической расходимости $\alpha = (a/n)/(f/n) = 2/20$: $n = 1$ – (а), 3 – (б), 9 – (e). Граничный пучок – гауссовский, $m = 1,5$

§4. Сходящиеся эллиптические пучки в анизотропной среде

Решение обозначенной в заголовке задачи сводится к интегралам типа (15) с функцией

$$S = \sqrt{z_0^2 + bx^2 + dy^2} - \sqrt{f^2 + lx^2 + ty^2}.$$

Снова $x_0 = y_0 = 0$, постоянные b, d определяют анизотропию среды, l и t – эллиптичность граничного поля. Если в одноосную среду с главной оптической осью вдоль x фокусируется сферическая волна, то $d = l = t = 0$ и в приближении, аналогичном (17), имеем

$$S = -S_1 x^2 + S_2 x^4 + S_3 x^2 y^2 + \tilde{S}(y),$$

где

$$S_1 = \frac{1}{2} \left(\frac{1}{f} - \frac{b}{z_0} \right), \quad S_2 = \frac{1}{8} \left(\frac{1}{f^3} - \frac{b^2}{z_0^3} \right), \quad S_3 = \frac{1}{4} \left(\frac{1}{f^3} - \frac{b}{z_0} \right),$$

$$\tilde{S}(y) = \frac{y^2}{2} \left(\frac{1}{f} - \frac{1}{z_0} \right) + \frac{y^4}{8} \left(\frac{1}{f^3} - \frac{1}{z_0^3} \right).$$

Такая структура S дает два фокуса: при $z_0 \sim bf$ — минимальный размер пучка по оси x_0 , и при $z_0 \sim f$ — по y_0 . Численное интегрирование показывает, что характер $|\Psi(z_0)|$ около $z_0 \sim bf$ такой же, как в §3. Применимость ПП вблизи этого фокуса регламентирует условие

$$\kappa_f = \kappa |S_2| x_{\max}^4 \Big|_{z_0=bf} \sim \kappa \alpha^3 a \frac{(b-1)}{b} \ll 1. \quad (20)$$

§5. Обсуждения

Можно выделить одно обстоятельство, объединяющее задачи в §3 и 4. Изначально сферический (или приближенно параболический) волновой фронт претерпевает определенную абберацию, которая влечет за собой осцилляции поля вблизи фокуса, и ПП проследить за ней не в состоянии. Поскольку происхождение аббераций качественной роли не играет, можно утверждать, что задачи с произвольными (несферическими) сходящимися волновыми пучками надобно решать более общими, нежели параболическое приближение, приемами. Количественными критериями будут выступать величины типа (19), (20); возможна, впрочем, некая модификация при других граничных условиях.

Как следует из (19) и (20), некорректность ПП возрастает с увеличением геометрической расходимости (углового спектра) внешнего поля, и это вполне соответствует [4]. Но информация, представленная на рис. 3, заставляет внести уточнение: переход к ПП оправдан, если характерные размеры пучка a на граничной поверхности и в фокусе ρ_0 различаются не слишком сильно, т. е. (напримр, для гауссовского пучка)

$$\eta = \rho_0/a \sim \left(\frac{2f}{\kappa a}\right) \frac{1}{a} = \frac{2}{\kappa a} \frac{1}{\alpha} \lesssim 1. \quad (21)$$

Другая редакция связана с тем, что в (21) $(2/\kappa a) \equiv \varphi$ — дифракционная расходимость внешнего пучка: геометрическая расходимость должна быть не просто небольшой, а порядка дифракционной.

Интересно отметить, что подобная формулировка фактически содержится уже в самом необходимом для ПП условии (13). Последнее можно представить в эквивалентном (в том смысле, что разложения для R и R_f не будут отличаться от (14)) в виде

$$\frac{|x|}{z_0} \sim \frac{|y|}{z_0} \sim \frac{|x_0|}{z_0} \sim \frac{|y_0|}{z_0} \sim \frac{|x|}{f} \sim \frac{|y|}{f} \sim \frac{a}{f} \ll 1. \quad (22)$$

Из (22) и следует, что переход к ПП математически безупречен только при выполнении (21). Если же возникает сильная фокусировка ($\eta \ll 1$), то (22) необходимо заменить на

$$\frac{|x|}{z_0} \sim \frac{|y|}{z_0} \sim \frac{|x|}{f} \sim \frac{|y|}{f} \sim \frac{a}{f} \ll 1, \quad \frac{|x_0|}{z_0} \sim \frac{|y_0|}{z_0} \sim \left(\frac{a}{f}\right)^j \ll 1, \quad (23)$$

где j принимает значения от 1 (при $\alpha = \varphi$) до, вообще говоря, сколь угодно большого числами зависимости от α и a из (21).

Используя (23), нетрудно понять, почему представление для S в виде (17) оказывается точнее, чем (16), где при переходе к ПП возникает математическая некорректность, приводящая к ошибкам в конечном результате. Действительно, полагая $\alpha = 10^{-1}$ при $a = 1$ см, из (21) увидим, что $\rho_0 \sim 0,2 \cdot 10^{-3}$ см, и, следовательно, j в (23) должно быть никак не меньше четырех. Это означает, что разложение R , используемое в ПП,

$$R \simeq z_0 \left[1 + \frac{(x-x_0)^2 + (y-y_0)^2}{2z_0^2} \right]$$

содержит слагаемые $xx_0/z^2 \sim yy_0/z^2$ пятого порядка малости по (23). Ошибка очевидна, ибо следующий член разложения (аналогично и для R_f , см. (14)) вида $(x^2 + y^2)^2 / 8z_0^4$ имеет по (23) четвертый порядок малости, т. е. отброшенные величины превосходят оставленные. Подобная неточность тем существеннее, чем сильнее фокусировка и чем больше размеры пучка на границе. Эти выводы следуют явно и из (19.) и (20).

Довольно любопытным выглядит еще один момент. При $m = 1$ функции S из (15) соответствует в ПП

$$S = R - R_f \simeq z_0 - f + \frac{(x-x_0)^2 + (y-y_0)^2}{2z_0} - \frac{x^2 + y^2}{2f}. \quad (24)$$

В сущности, как явствует из предыдущего, при записи (24) совершены сразу две ошибки — и для R и для R_f рано прекращено суммирование в (14). Однако, здесь ошибки компенсируют друг друга — $\kappa_f = 0$ и (24) несколько не хуже, чем $S = R - R_f$. Но «допустив только одну ошибку» (неважно в представлении R или R_f), вычислим Ψ менее точно. В этом случае κ_f будет соответствовать максимальному значению ($m \rightarrow \infty$) (19) и (15) будет давать сильные осцилляции вблизи фокуса, которых в данном случае быть не должно. Эта ситуация иллюстрирует тезис из конца §2.

Заключение

Цель настоящей статьи состояла лишь в том, чтобы отметить качественно различный характер строгого решения и полученного в ПП, а также указать основные моменты теории ПП, приводящие к неверному (в некоторых ситуациях) результату. Именно поэтому количественная сторона даже рассмотренных здесь конкретных задач осталась по существу не раскрытой. Совершенно не затронуты вопросы, связанные, например, с распределением амплитуды и фазы поля в поперечном сечении вблизи фокуса. Предполагалось, что все равно в каждом конкретном случае использованию ПП должен предшествовать определенный анализ, устанавливающий «законность» ПП именно для этого случая. Об универсальности ПП говорить, по-видимому, не следует.

В спорных ситуациях, чтобы гарантированно избежать ошибок, задачи подобного типа целесообразно исследовать либо используя точное решение (типа (15)), либо следующее за ПП приближение (17). Математически безупречным выглядит метод, изложенный в [11] (поле вблизи трехмерного фокуса) и используемый вместе с (23).

Авторы очень признательны В.В. Колосову за ценные советы и обсуждения.

1. Зуев В. Е. Распространение лазерного излучения в атмосфере. М.: Радио и связь, 1981. 288 с.
2. Лукин В. П. Атмосферная адаптивная оптика. Новосибирск: Наука, 1986. 248 с.
3. Фок В. А. Проблемы дифракции и распространения электромагнитных волн. М.; Сов. радио, 1970. 517 с.
4. Виноградова М. Б., Руденко О. В., Сухоруков А. П. Теория волн. М.: Наука, 1979. 383 с.
5. Сухоруков А. П. Нелинейные волновые взаимодействия в оптике и радиофизике. М.: Наука, 1988. 231 с.
6. Татарский В. И. Распространение волн в турбулентной атмосфере. М.: Наука, 1967. 548 с.
7. Рытов С. М., Кравцов Ю. А., Татарский В. И. Введение в статистическую радиофизику. Ч. II. Случайные поля. М.: Наука, 1978. 463 с.
8. Квазиоптика. М.: Мир, 1966. 504 с.
9. Леонтович М. Л. // Изв. АН СССР. Сер. физическая. 1944. Т. 8. № 1. С. 16—40.
10. Бабиц В. М., Булдырев В. С. Асимптотические методы в задачах дифракции коротких волн. М.: Наука, 1972. 456 с.
11. Борн М., Вольф Э. Основы оптики. М.: Наука, 1970. 855 с.
12. Тейлор Дж. Теория рассеяния. М.: Мир, 1975. 565 с.
13. Евграфов М. А. Аналитические функции. М.: Наука, 1965. 423 с.
14. Ландау Л. Д., Лифшиц Б. М. Теория поля. М.: Наука, 1973. 504 с.
15. Фаддеева В. Н., Терентьев Н. М. Таблицы значений интеграла вероятностей от комплексного аргумента. М.: Гостехтеоретиздат, 1954. 270 с.

S. D. Tvorogov, V. O. Troitskii. On the Applicability Limits of the Parabolic Approach.

Applicability of the parabolic approach technique to solution of the problem on light field in the vicinity of the geometrical focus is analyzed and a version of the quantitative criterion is suggested. It is shown that a discrepancy between the exact solution and that obtained using the parabolic approach: a) always exists and this is caused by the premature truncation of the series for the phase of Green's function and for the boundary field; b) the discrepancy is inessential if the boundary field and Green's function have spherical wave front; c) it can reach significant values if that and/or other wave front is nonspherical; d) it becomes greater the greater is the difference between characteristic boundary and local sizes.